

文章编号: 0258-7025(2002)Supplement-0044-03

# 光腔模式的数值矩阵方法

程愿应 胡进 李家榕

(华中科技大学激光研究院, 武汉 430074)

**摘要** 对腔镜有限分划, 基于衍射积分理论构造光腔的传输数值矩阵, 并对其特征值和特征向量求解, 从而实现光腔模式计算。计算了非虚共焦非稳腔内的光场特性和远场光斑分布, 并与实际结果吻合。

**关键词** 矩阵特征值, 数值积分, 谐振腔

中图分类号 TN248 文献标识码 A

## Numerical Matrix Method of Mode for Optical Resonators

CHENG Yuan-ying HU Jin LI Jia-rong

(Institute of Laser, Huazhong University of Science and Technology, Wuhan 430074)

**Abstract** The transfer matrix of an optical resonator is obtained based on Frensel-Kirchhoff diffracted integral equation by dividing the mirror into finite grids. The eigenvalue calculation and iteration of the transfer matrix will lead to the mode and far-field beam characterization of the resonator. An example is illustrated: confocal unstable resonator.

**Key words** eigenvalue of matrix, numerical integral, resonator

### 1 方法的提出和数值矩阵的构造

设谐振腔腔长为  $L$ 。将腔镜 I 按照一定的顺序划分为单元  $1 \sim S$ , 于是, 腔镜 I 上的复振幅分布函数  $U_1(x, y)$  可被离散化为复振幅分布向量  $U_1$

$$U_1 = \{U_1[1], U_1[2], \dots, U_1[S]\}$$

同理, 镜 II 上的复振幅分布可用矩阵  $U_2$  描述。若已知  $U_1$ , 则经过腔内的一次渡越, 可求出  $U_2$ 。对  $U_2$  的某一元素  $n$ , 其中心位置  $[X_n, Y_n]$  由腔形和单元划分确定, 其复振幅  $U_2[n]$  可认为是腔镜 I 上单元  $1 \sim S$  作用并叠加的结果, 根据菲涅耳-基尔霍夫衍射公式, 考察镜 I 上第  $m$  个单元  $U_1[m]$  (中心位置  $[X_m, Y_m]$ ) 对  $U_2[n]$  的作用, 记为

$$U_{12}[m, n] = \frac{ik}{4\pi} \iint_{S_m} U_1[m] \frac{e^{-ik\rho}}{\rho} (1 + \cos\alpha) ds \quad (1)$$

$S_m$  表示  $U_1[1]$  对应的镜 I 上第  $m$  个的面积单元。当划分数  $S$  足够大时, 可认为每个单元上复振幅起伏不大, 即可用  $S_m$  中心处的复振幅来代替, 可认为  $S_m$  上复振幅均匀分布, 即与  $ds$  的积分变量  $x, y$  (以直角坐标为例) 无关, 将其从式(1)的积分号内提出得

$$\left. \begin{aligned} U_{12}[m, n] &= U_1[m] \times A_{12}[m, n], \\ A_{12}[m, n] &= \frac{ik}{4\pi} \iint_{S_m} \frac{e^{-ik\rho}}{\rho} (1 + \cos\alpha) ds, \\ \rho &= \sqrt{(X_m - X_n)^2 + (Y_m - Y_n)^2 + L^2} \end{aligned} \right\} \quad (2)$$

$A_{12}[m, n]$  可理解为权, 在腔形一定且划分一定时,  $A_{12}[m, n]$  中的  $\rho$  和  $\cos\alpha$  只与单元  $U_1[m], U_2[n]$  的相对几何位置有关, 一对  $m, n$  唯一确定一个  $A_{12}[m, n]$ 。  $m$  取值  $1 \sim S$ , 叠加可得

$$U_2[n] = \{A_{12}[1, n] A_{12}[2, n] \dots A_{12}[s, n]\} \{U_1[1] U_1[2] \dots U_1[s]\}^T.$$

腔内光场的一次渡越可由以下矩阵形式表

$$\begin{bmatrix} U_2[1] \\ U_2[2] \\ \dots \\ U_2[S] \end{bmatrix} = \begin{bmatrix} A_{12}[1,1] & A_{12}[1,2] & \dots & A_{12}[1,S] \\ A_{12}[2,1] & A_{12}[2,2] & \dots & A_{12}[2,S] \\ \dots & \dots & \dots & \dots \\ A_{12}[S,1] & A_{12}[S,2] & \dots & A_{12}[S,S] \end{bmatrix} \begin{bmatrix} U_1[1] \\ U_1[2] \\ \dots \\ U_1[S] \end{bmatrix} \quad (3)$$

可简记为： $U_2 = A_{12} \times U_1$ ,  $A_{12}[m, n]$  的物理意义为：腔镜 I 上单元  $m$  上输入复振幅为 1 时，对腔镜 II 上单元  $n$  的作用。同理可得  $A_{21}$ ，它描述从镜 II 返回到镜 I。则腔内一次往返可表示为

$$U'_1 = A_{21} \times A_{12} \times U_1 = A \times U_1$$

根据光腔的自适应原理，当腔内的光波场逐渐稳定时，有  $U'_1 = \gamma \times U_1$ ,  $\gamma$  为表示振幅衰减和相位波动的复常数因子，由两式可得， $\gamma \times U_1 = A \times U_1$ ，稳定光波场的本征值  $\gamma$  是  $A$  的特征根，而光场分布（由向量  $U_1$  表示）是  $\gamma$  对应的特征向量，可见求解传输矩阵  $A$  对腔内模式和光束特性计算具有提纲挈领的作用。而且可以看出该法的优点：1) 无须多次迭代，可直接求得腔内稳定场的分布；2) 求出本征值  $\gamma$ ，可方便计算单程相移和单程损耗；3) 可求解腔内多个可能起振的模式 ( $S$  个)，并可知，绝对值较大且幅角较小的特征值对应主要模式，一般为低阶模，即迭代法的结果；4) 不必对式(1)中的  $\rho$  采用远场近似<sup>[1,2]</sup>，适于计算短腔。

由(3)式知  $A_{12}$  的第  $m$  行表示镜 I 上单元  $m$  (复振幅为 1) 对腔镜 II 上单元 1 ~  $S$  的作用，典型分布类似于圆孔的夫琅和费衍射的 sinc 函数，如图 1 所示 (取  $N = 200$ )。腔镜上的光场的强度和相位的分布十分光滑，且无大的跳变，完全可以通过插值减少计算量。结果证明只要样点的数目不太少，可将计算量减半，且误差很小。图中方块是数值积分的结果，十字形是对其插值的结果。

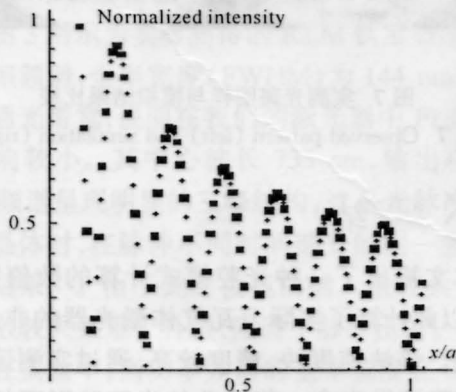


图 1 矩阵  $A_{12}$  的插值

Fig.1 Interpolation of the matrix  $A_{12}$

## 2 光束质量计算

数值矩阵方法描述的是光场在谐振腔内的来回渡越，自然也可以计算光场的传播。下面将借此计算稳腔基模的发散角。根据发散角(全角)定义

$$\theta = \lim_{z \rightarrow \infty} \frac{2\omega(z)}{z} = 2 \frac{\omega_0}{f}$$

我们希望求解  $z = 0$  处的光场分布，以计算腰斑尺寸  $\omega_0$ ，从而求解  $\theta$ 。在已经求得腔镜表面基模的分布前提下，可通过数值矩阵方法，计算从腔镜 I 到束腰位置平面的传播，考虑镜 I 上  $N$  个单元 (这里单元取环形) 对束腰平面上  $N$  个单元的作用，可求得从镜 I 到该平面镜的传输矩阵，与腔镜 I 上的光场分布向量 (基模) 做乘法可得束腰平面的光场分布，如图 2 所示。

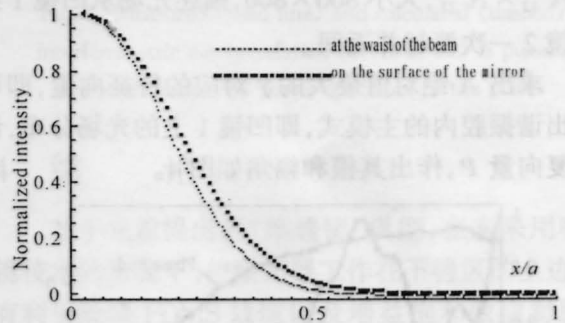


图 2 共焦腔镜表面和束腰处的振幅分布

Fig.2 Wave intensity at the beam waist and on the mirror surface

由此可求得定义在振幅的  $1/e$  处的基模光斑尺寸为  $0.09a$ ,  $a = 1.5$  cm 为圆形镜半径，求得  $\theta$  为  $5.0$  mrad，与理论值 ( $3.2$  mrad) 基本符合，用  $\omega_0$  求解发散角的方法误差较大，对  $\omega_0$  精度要求较高，这里只做一验证。

## 3 环耦输出非稳腔的计算

以华工激光的 10 kW 气体激光器的谐振腔计算为例，其光路结构图如图 3 所示。

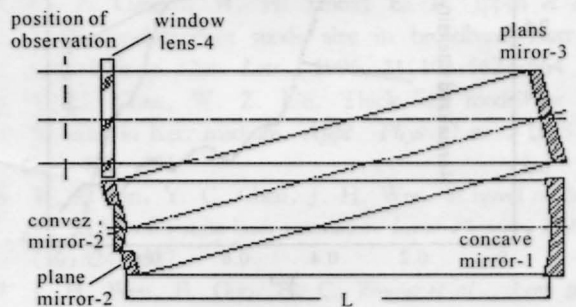


图 3 千瓦气体激光器光路图

Fig.3 Resonator of  $CO_2$  laser (10 kW)

基本尺寸参数为：凹镜 1:  $\phi 50$  mm, 曲率半径  $R_1 = 12100$  mm; 凸镜 2:  $\phi 16$  mm, 曲率半径  $R_2 = 6000$  mm; 平面镜 2:  $\phi 50$  mm, 内孔为  $\phi 16$  mm; 平面镜 3:  $\phi 60$  mm, 腔长:  $L = 3150$  mm; 平面镜 3 距离输

出镜  $d = 4000$  mm, 测斑位置距离输出镜 800 mm。

将凹镜 1 划分为 800 个环状单元, 将凸镜 2 划分为 200 个单元, 计算从凹镜 1 到凸镜 2 的传输矩阵  $A_{12}$ , 大小  $800 \times 200$ , 对其进行插值生成矩阵  $A'_{12}$ , 大小  $800 \times 200$ , 对其进行插值生成矩阵  $A'_{12}$ , 大小  $800 \times 400$ ; 将凸镜 2 划分为 400 个环状单元, 将凹镜 1 划分为 400 个单元, 计算从凸镜 2 到凹镜 1 的传输矩阵  $A_{21}$ , 大小  $400 \times 400$ , 对其进行插值生成矩阵  $A'_{21}$ , 大小  $400 \times 800$ , 最后可得传输矩阵  $A = A'_{12} \times A'_{21}$ , 大小  $800 \times 800$ , 描述光场从凹镜 1 到凸镜 2 一次渡越并返回。

求出  $A$  绝对值最大的  $\gamma$  对应的特征向量, 即可求出谐振腔内的主模式, 即凹镜 1 上的光场分布, 记为复向量  $P$ , 作出其模和幅角如图 4。

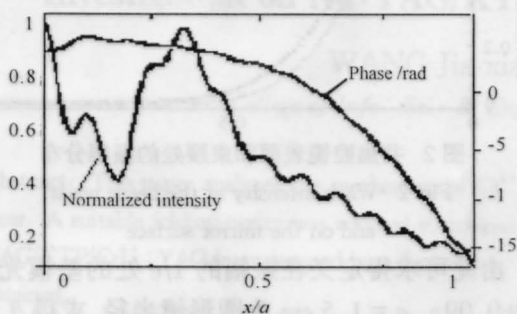


图 4 凹镜 1 上稳定场的振幅和相位分布  
Fig. 4 Wave intensity and phase on the surface of concave mirror-1

算得凹镜 1 到平面镜 2 的传输矩阵  $B_{12}$ ,  $P \times B_{12}$  即可获得平面镜 2 上的光场分布。如图 5, 由于平面镜 2 为环形, 中间的振幅和相位均取值为零。

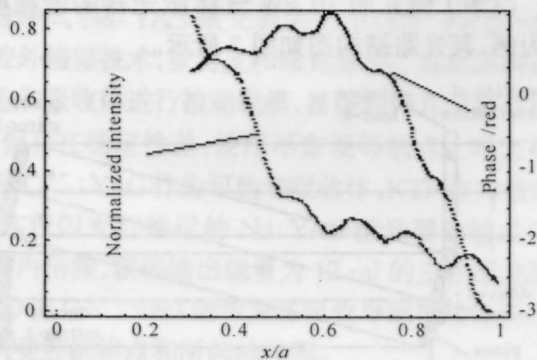


图 5 平面镜 2 上的振幅分布和相位分布  
Fig. 5 Plots of wave intensity and phase on plane mirror-2

经平面镜 3、输出镜 4, 到达测斑位置的光场传输, 采用正逆傅立叶变换<sup>[3-5]</sup>的方法。算得测斑位置平面光场的光斑分布如图 6 所示, 并与实测结果

进行了比较(图 7), 两者符合得较好。

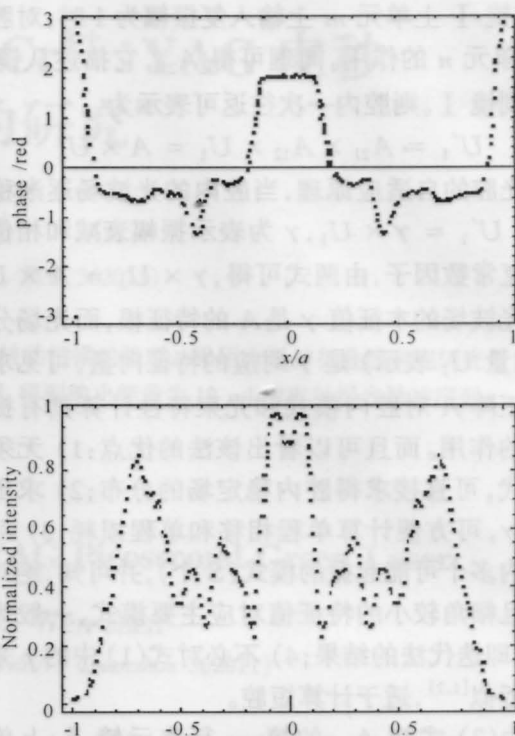


图 6 光斑的振幅和相位分布  
Fig. 6 Wave intensity and phase of the pattern

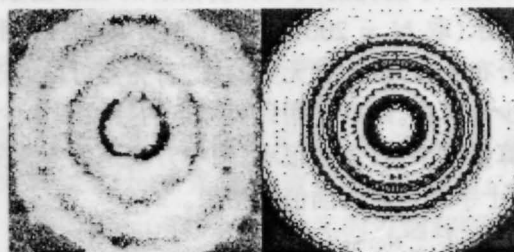


图 7 实测光斑图样与模拟结果比较  
Fig. 7 Observed pattern (left) and simulation (right)

## 4 小 结

本文提出了一种光腔模式计算的数值矩阵方法, 并以此计算了实际万瓦气体激光器的非虚共焦非稳腔。该法速度快、精度较高, 通过实测证明, 此法与实际结果吻合。若涉及的光腔腔形不规则, 仍可采用此法。

## 参 考 文 献

- 1 李家熔等. 激光技术, 1995, 19(5):271
- 2 厉江帆等. 应用激光, 2000, 20(1):16
- 3 杜燕胎. 强激光与粒子束, 2000, 12(2):164
- 4 E. A. Sziklas, A. E. Siegman. *Appl. Opt.*, 1975, 14(8):1874
- 5 Q. Lu. *Eicher J. Opt. Lett.*, 1990, 15(3):1357